

České vysoké učení technické v Praze  
Fakulta elektrotechnická



Bakalářská práce

## **Detekce tautologie pomocí BDD**

Michal Navrkal

Vedoucí práce : Ing. Petr Fišer

Studijní program : Elektrotechnika a informatika strukturovaný bakalářský  
Obor : Informatika a výpočetní technika

červen 2006



### **Poděkování**

Tímto bych chtěl poděkovat vedoucímu mé bakalářské práce Ing. Petru Fišerovi za pomoc a veškerý čas, který mi věnoval.



### **Prohlášení**

Prohlašuji, že jsem svou bakalářskou práci vypracoval samostatně a použil jsem pouze podklady uvedené v příloženém seznamu.

Nemám závažný důvod proti užití tohoto školního díla ve smyslu §60 Zákona č. 121/2000 Sb., o právu autorském, o právech souvisejících s právem autorským a o změně některých zákonů (autorský zákon).

V Praze dne 26.06.2006

.....



## Abstrakt

Cílem této bakalářské práce je naprogramovat v jazyce C++ nástroj pro zjištění, zda je logická funkce tautologie. Funkce je zadaná tabulkou ve formě součtu součinů.

Program má fungovat na bázi binárních rozhodovacích diagramů (BDD). Práce nejdříve objasňuje základní pojmy týkající se BDD a základní metody a algoritmy použité při tvorbě programu. Na závěr nechybí ani otestování programu na zkušebních úlohách a porovnání výsledků s jinými implementacemi.

## Abstract

The aim of this work was to create in C++ a program package for detection tautology of boolean functions. The functions are given by truth table in sum of products form.

This program ought to operate on binary decision diagrams. This work at first explain basic notions about BDD and basic methods and algorithms used.

At the end program is tested and confront with other implementations.





# Obsah

|  |      |
|--|------|
| Seznam obrázků.....  | xi   |
| Seznam tabulek.....  | xiii |
| 1 Úvod.....  | 1    |
| 2 Binární rozhodovací diagramy.....                          | 2    |
| 2.1 Seznámení s BDD.....                                     | 2    |
| 2.2 Jak vypadá BDD.....                                      | 2    |
| 2.3 (R)OBDD.....   | 3    |
| 2.3.1 Uspořádání.....  | 3    |
| 2.3.2 Redukce.....   | 4    |
| 2.4 Shannonova expanze.....                                  | 6    |
| 2.5 Konstrukce a manipulace s BDD.....                       | 6    |
| 2.5.1 Apply funkce.....                                      | 6    |
| 3 Vlastní implementace.....                                  | 8    |
| 3.1 Vnitřní reprezentace PLA souboru.....                    | 8    |
| 3.1.1 Popis datové struktury PLAtab.....                     | 8    |
| 3.2 Reprezentace BDD.....                                    | 10   |
| 3.2.1 Třída pro reprezentaci uzlu stromu.....                | 10   |
| 3.2.2 Třída pro reprezentaci BDD.....                        | 13   |
| 3.3 Popis nejdůležitějších algoritmů.....                    | 15   |
| 3.3.1 Algoritmus načítání BDD z PLA souboru.....             | 15   |
| 3.3.2 Algoritmus pro redukci(minimalizaci) BDD.....          | 20   |
| 3.3.3 Algoritmy pro logické operace mezi dvěma BDD.....      | 22   |
| 4 Porovnání s jinými implementacemi.....                     | 23   |
| 4.1 Knihovna CUDD.....                                       | 23   |
| 4.2 Test tautologie výpočtem komplementu logické funkce..... | 23   |
| 4.3 Naměřené hodnoty.....                                    | 26   |
| 5 Závěr.....   | 30   |
| 6 Seznam literatury.....                                     | 31   |
| <br>   |      |
| A Formát souboru notace PLA Espresso.....                    | 32   |
| B Tabulky naměřených hodn.....                               | 34   |
| C Obsah CD.....  | 32   |



## Seznam obrázků

|   |    |
|---|----|
| Obrázek 1 - BDD vzniklé z pravdivostní tabulky nalevo.....  | 3  |
| Obrázek 2 - Použití redukčních pravidel na BDD z Obrázku 1.....                                     | 5  |
| Obrázek 3 - Ukázka funkce metody bypass třídy Node.....   | 12 |
| Obrázek 4 - Strom rekurzivního volání metod expande.....  | 16 |
| Obrázek 5 - Strom vzniklý aplikací Shannonovy expande na tab1.pla.....                              | 17 |
| Obrázek 6 - Závislost doby výpočtu na počtu vstupních proměnných u mé implementace.....             | 28 |
| Obrázek 7 - Závislost doby výpočtu na počtu vstupních proměnných u implementace Radka Chromého..... | 28 |
| Obrázek 8 - Závislost doby výpočtu na počtu vstupních proměnných u knihovny CUDD.....               | 29 |



## Seznam tabulek

|   |    |
|---|----|
| Tabulka 1 – Naměřené hodnoty pro moji implementaci.....           | 35 |
| Tabulka 2 – Naměřené hodnoty pro implementaci Radka Chromého..... | 37 |
| Tabulka 3 – Naměřené hodnoty pro knihovnu CUDD.....               | 38 |



# 1 Úvod

Tématem mojí práce je implementace nástroje pro detekci tautologie logické funkce. Při této detekci se mají využívat binární rozhodovací diagramy (z angl. Binary Decision Diagrams – BDD). Logická funkce bude zadána jako součet součinových termů v notaci PLA Espresso. Společně s Ing. Fišerem jsme se domluvili, že při psaní téhle práce nebudeme stavět na knihovně CUDD, která je také postavena na binárních rozhodovacích diagramech, ale půjdeme vlastní cestou. Důvody byly čistě experimentální. Na konci této práce se pokusím obě řešení porovnat.

Při výběru tohoto zadání, jsem se domníval, že se jedná o jednoduchou a rychle hotovou věc. Po několika pokusech se mi podařilo skutečně naimplementovat nástroj, který byl schopný rozhodnout, zda funkce zadaná v PLA souboru je tautologií. Ovšem pro velké funkce bylo toto řešení naprosto nepoužitelné a musel jsem se ponořit do problému hlouběji a najít řešení, které je z časového hlediska přijatelnější.

Pak už zbývalo porovnat mojí implementaci s jinými dostupnými. Po dohodě s Ing. Fišerem jsme vybrali již zmíněnou knihovnu CUDD a implementaci, jejíž autorem je Radek Chromý, který detekci tautologie řeší zcela jiným způsobem.

## 2 Binární rozhodovací diagramy

Tato kapitola je kapitola, která se zabývá úvodem do problematiky binárních rozhodovacích diagramů.

### 2.1 Seznámení s BDD

V současné době se v praxi setkáváme s potřebou řešit složité problémy při návrhu nebo optimalizaci digitálních systémů a kombinační logiky, testování, verifikaci, ale třeba i otázky spojené s matematickou analýzou a prudce se rozvíjejícím odvětvím zabývajícím se umělou inteligencí. Většina takovýchto problémů se dá přetransformovat na problém nad doménou logických funkcí s použitím několika málo operací. I když se dají logické funkce reprezentovat mnoha rozdílnými kanonickými způsoby, jako například pravdivostní tabulkou, disjunktivní normální formou či konjunktivní normální formou, nejsou tyto formy příliš vhodné pro reprezentaci funkcí s velkým počtem proměnných. Prostě a jednoduše jsou příliš náročné co do velikosti paměťového místa potřebného pro reprezentaci a efektivita práce s nimi také není nejlepší. Naproti tomu binární rozhodovací diagramy (Binary Decision Diagrams - BDDs) vznikly právě jako efektivní forma pro manipulaci a reprezentaci rozsáhlých logických funkcí.

### 2.2 Jak vypadá BDD

Každá funkce je reprezentovaná jako orientovaný acyklický graf (z angl. DAG – directed acyclic graf), který tvoří vnitřní uzly (neterminální uzly), které korespondují vždy s určitou proměnnou funkce, kterou dané BDD reprezentuje. Graf také tvoří uzly koncové (terminální uzly, listy), které jsou označeny 1 nebo 0 a reprezentují příslušnou logickou konstantní hodnotu.

Z každého neterminálu  $v$  vedou dvě výstupní hrany. Jedna do tzv. low-potomka a druhá do tzv. high-potomka ( dále jen  $low(v)$  a  $high(v)$  ).

Jako příklad Obrázek 1 ilustrující reprezentaci funkce  $f(x_1, x_2, x_3)$  definovanou pravdivostní tabulkou nalevo. Každý neterminální uzel  $v$  je označen proměnnou  $var(v)$  a má dvě hrany směřující ke dvěma potomkům :

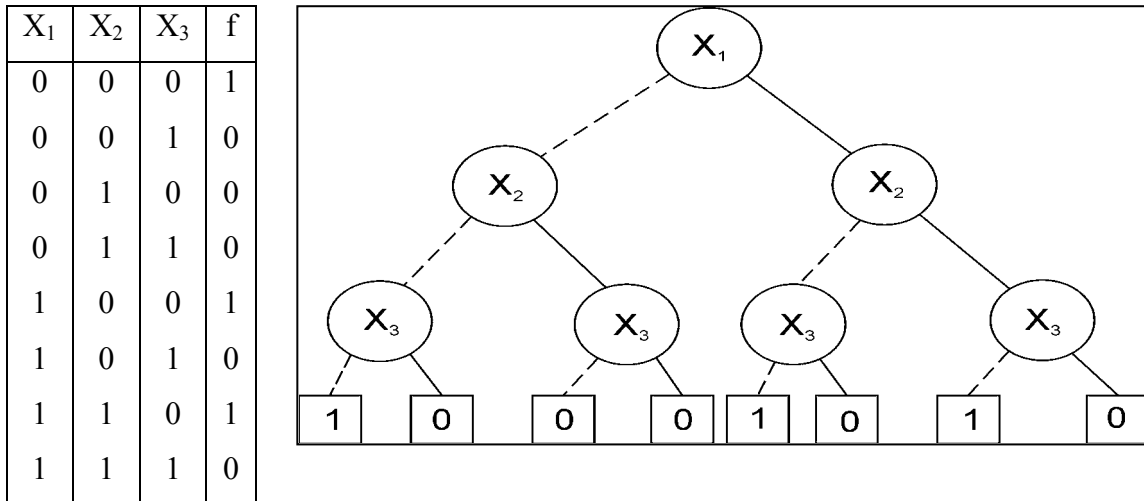
$low(v)$  označen čárkovanou čarou (případ kdy proměnná je nulová)

$high(v)$  označen plnou čarou (případ kdy proměnná je jedničková)



Každý terminální uzel je označen 0 nebo 1.

Pro dané přiřazení hodnot proměnných je hodnota funkce určena procházením grafu z kořene k terminálu, kde rozhodnutí o větvení je prováděno na základě hodnoty dané proměnné v přiřazení. Jako hodnotu funkce dostaneme hodnotu terminálu na konci cesty.



Obrázek 1 – BDD vzniklé z pravdivostní tabulky nalevo

Když už víme jak reprezentovat logickou funkci pomocí grafu, můžeme operace nad booleovskými funkcemi implementovat jako grafové algoritmy. Ačkoli BDD reprezentace logické funkce může mít obecně velikost exponenciálně závislou na počtu proměnných, v praxi dospějeme k mnohem kompaktnější reprezentaci.

## 2.3 (R)OBDD

V této kapitole ozřejmím rozdíl mezi OBDD, potažmo ROBDD, a BDD. Tyto rozdíly se často opomíjejí a spousta lidí mluvících o BDD má vlastně na mysli ROBDD.

### 2.3.1 Uspořádání

BDD byly objeveny jako abstraktní reprezentace booleovských funkcí před mnoha lety. Pod názvem „branching programs“ byly studovány teoretiky zabývajícími se složitostí. BDD, jak byly popsány v kapitole 2.2, nejsou kanonickou reprezentací. Může existovat mnoho rozdílných BDD reprezentujících jednu a tu samou funkci. Proto se zavádí pojem OBDD (ordered BDD).

Pro OBDD využijeme uspořádání nad množinou proměnných funkce. Aby se BDD stalo OBDD musíme vyžadovat určité uspořádání proměnných. Pro každý uzel  $u$  a jeho potomka  $v$  musí platit následující nerovnost:

$$\mathbf{var(u) < var(v)}$$

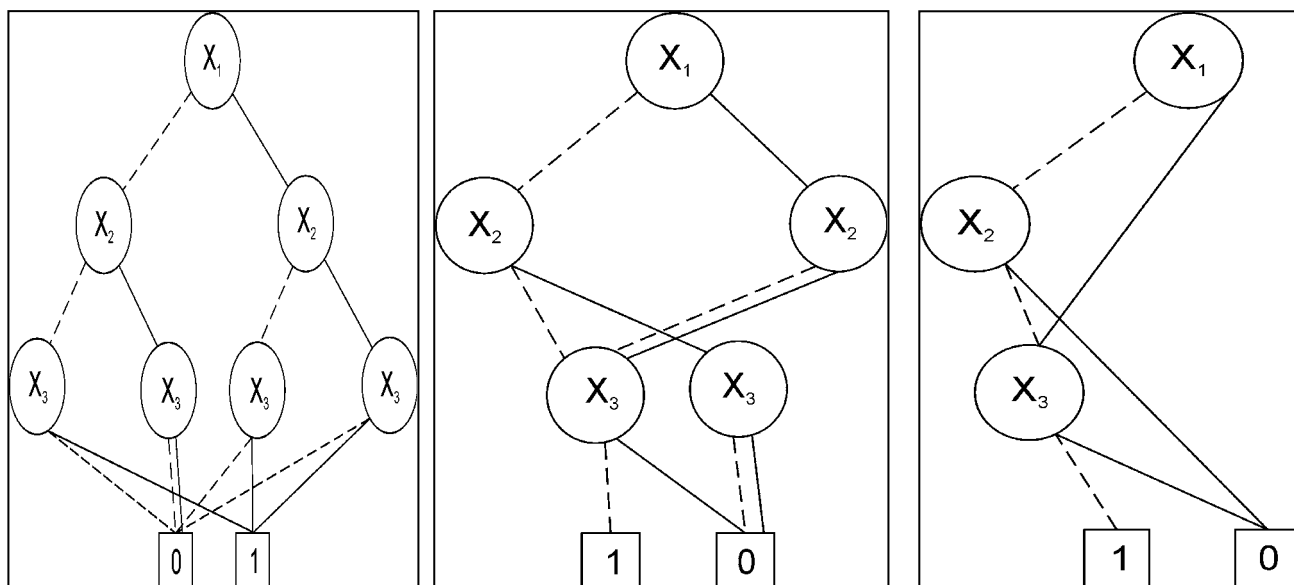
Např. na Obrázku 1 jsou proměnné seřazeny  $x_1 < x_2 < x_3$ . To však není podmínkou, v principu může pořadí proměnných být zvoleno libovolně, protože algoritmy pracují korektně pro jakékoli pořadí. Nalezení nejvhodnějšího uspořádání proměnných tak, aby požadavek na velikost paměťového prostoru nutného k reprezentaci funkce byl co nejmenší, je v praxi dosti náročný problém.

### 2.3.2 Redukce

Takto popsaný OBDD má však ještě jeden neduh a tím je možná redundance dat. Abychom ji odstranili, nadefinujeme tři transformační pravidla pro takovýto graf:

- 1) **odstranění duplicitních terminálů:** Eliminujeme všechny terminály se stejnou hodnotou až na jeden
- 2) **odstranění duplicitních neterminálů:** Když neterminální uzly  $u$  a  $v$  mají  $\mathit{var}(u)=\mathit{var}(v)$ ,  $\mathit{low}(u)=\mathit{low}(v)$  a  $\mathit{high}(u)=\mathit{high}(v)$ , potom jeden z uzlů  $u$  a  $v$  odstraníme a všechny hrany vedoucí do odstraněného uzlu převedeme do druhého uzlu.
- 3) **Odstranění redundantních uzlů:** Když neterminální uzel  $v$  má  $\mathit{low}(v)=\mathit{high}(v)$ , potom ho odstraníme a všechny vstupní hrany převedeme do  $\mathit{low}(v)$ .

Aplikací těchto pravidel na obecný OBDD dostaneme ROBDD ( reduced OBDD ), tedy minimalizovaný nebo chcete-li redukovaný uspořádaný binární rozhodovací diagram.



a) Duplicitní terminály

b) Duplicitní neterminály

c) Redundantní uzly

Obrázek 2 - Použití redukčních pravidel na BDD z Obrázku 1

Jak je vidět z Obrázku 2 první pravidlo zredukovalo počet terminálních uzlů z 8 na 2. Druhé pravidlo odstranilo dva uzly označené proměnnou  $x_3$  a nakonec třetí pravidlo odstranilo dva redundantní uzly, jejichž vstupní hrany jsme „přemostili“ do jednoho z potomků.

Takováto reprezentace funkce pomocí ROBDD je už kanonická – odpovídá lemmatu kanonicity.

**Lemma kanonicity :**

Pro každou funkci  $f: \mathbf{B}^n \rightarrow \mathbf{B}$  je přesně jedno ROBDD  $u$  s pořadím proměnných  $x_1 < x_2 < \dots < x_n$  tak ,že  $f^u = f(x_1, \dots, x_n)$

To znamená, že pro dané pořadí proměnných musí být dvě ROBDD pro danou funkci identické ( pro OBDD jsou izomorfní ).

Kanonicita má několik důležitých důsledků. Například je možno snadno testovat ekvivalenci funkcí. V konstantním čase také zjistíme, zda je funkce tautologie. Pokud ano, pak její graf má podobu jedničkového terminálu. Můžeme také jednoduše testovat splnitelnost funkce – v grafu musí existovat alespoň jedna cesta vedoucí z kořene do

terminálu 1, nebo-li grafem není samotný terminál 0. Když je funkce nezávislá na proměnné  $x$ , neobsahuje graf žádný uzel označený proměnnou  $x$ .

Jak ilustruje Obrázek 1 a Obrázek 2, můžeme vytvářet OBDD reprezentaci funkce z její pravdivostní tabulky a poté provést redukci. Tento přístup je jednoduchý a někdy i praktický, ale musíme si uvědomit, že velikost (R)OBDD exponenciálně závisí na počtu proměnných funkce. Proto se používá při konstrukci jiný přístup a to použití apply operací, jak bude vysvětleno později.

## 2.4 Shannonova expanze

Výsledek funkce po dosazení konstantní hodnoty  $k$  (0 nebo 1) za proměnnou  $x$  funkce  $f$  se nazývá restrikce nebo někdy bývá označován jako kofaktor a značí se  $f|_{x \leftarrow k}$ . Použitím této restrikce se jakákoli funkce  $f$  dá zapsat jako :

$$f = \bar{x} \cdot f|_{x \leftarrow 0} + x \cdot f|_{x \leftarrow 1}$$

Tento poznatek se označuje jako Shannonova expanze funkce  $f$  s ohledem na proměnnou  $x$ , ačkoli to bylo objeveno Boolem.

Spojením operace restrikce s dalšími algebraickými operacemi se dají vyjádřit další užitečné operace. Jednou z nich je třeba operace kompozice. Při kompozici funkce  $g$  nahrazuje proměnnou  $x$  funkce  $f$  :

$$f|_{x \leftarrow g} = \bar{g} \cdot f|_{x \leftarrow 0} + g \cdot f|_{x \leftarrow 1}$$

## 2.5 Konstrukce a manipulace s BDD

### 2.5.1 Apply funkce

Mnoho operací nad booleovskými funkcemi může být implementováno jako grafové algoritmy aplikované na (R)OBDD. Tyto algoritmy vyhovují jedné důležité vlastnosti a tou je vlastnost uzavřenosti uspořádání proměnných. Pokud před provedením operace

(R)OBDD odpovídá určitému uspořádání, pak provedení této operace na tom nic nezmění.

Apply operace generuje booleovskou funkci aplikováním algebraických operací na jiné funkce. Mějme například funkce  $f$  a  $g$  a binární operátor  $\langle op \rangle$ , potom apply vrací funkci  $f \langle op \rangle g$ . Funkce apply má pro nás ústřední význam, protože s jejím využitím můžeme spočítat množství jiných funkcí ( například  $f \text{ xor } 1$  je komplement funkce ).

Apply algoritmy procházejí graf do hloubky. Abychom zefektivnili výpočet apply operace, používá se hashovací tabulka. Druhá hashovací tabulka se používá k zajištění generování maximálně zredukovaného grafu.

Implementace apply operace se opírá o Shanonovu expanzi:

$$f \langle op \rangle g = \bar{x} \cdot (f|_{x \leftarrow 0} \langle op \rangle g|_{x \leftarrow 0}) + x(f|_{x \leftarrow 1} \langle op \rangle g|_{x \leftarrow 1})$$

Ještě ovšem nevíme, jak získat restrikcí daného (R)OBDD s ohledem na proměnnou  $x$ . Zcela jednoduše podle následujícího předpisu, kde  $r_f$  je kořen OBDD a  $x \leq \text{var}(r_f)$  :

|                       |                    |                                 |
|-----------------------|--------------------|---------------------------------|
| $f _{x \leftarrow b}$ | $r_f$              | $x < \text{var}(r_f)$           |
|                       | $\text{low}(r_f)$  | $x = \text{var}(r_f)$ a $b = 0$ |
|                       | $\text{high}(r_f)$ | $x = \text{var}(r_f)$ a $b = 1$ |

to znamená, že restrikce je reprezentována tím samým grafem nebo jedním z podgrafů reprezentujícím potomka.

## 3 Vlastní implementace

Tak jako každý komplexnější problém tak i problém, jak správně implementovat nástroj pro práci s BDD, má více cest, kterými se může ubírat.

Musel jsem řešit několik otázek přímo souvisejících s implementací :

- načítat BDD přímo ze souboru PLA bez vnitřní reprezentace?
- nebo raději převést soubor PLA do vnitřní reprezentace?
- jakou datovou strukturou reprezentovat BDD?
- jak z vnitřní reprezentace PLA vytvořit BDD v přijatelném čase?

V následujících odstavcích se pokusím odpovědět.

### 3.1 Vnitřní reprezentace PLA souboru

Načítání BDD přímo z PLA bez nějakého druhu vnitřní reprezentace jsem celkem záhy zavrhl. Důvodů bylo hned několik :

- přístup k jednotlivým literálům by byl značně komplikovaný
- museli bychom vystačit se sekvenčním přístupem
- všechny činnosti související s PLA by byly z časového hlediska značně neefektivní, protože bychom stále přistupovali k souboru uloženému ve vnější paměti

Jak ale co nejefektivněji reprezentovat PLA soubor v programu? Vyzkoušel jsem více variant z kterých jsem nakonec vybral jednu, kterou popisuje kapitola 3.1.1.

#### 3.1.1 Popis datové struktury PLAtab

Chtěl jsem vytvořit třídu, která by co nejlépe odrážela vlastnosti PLA souboru. Jelikož PLA soubor má formu po řádcích uložených termů, vznikla třída, která do jisté míry připomíná matici. Je ovšem doplněna o množství funkcí, které jsou nutné ke správnému načtení BDD nebo které jsem během psaní programu potřeboval a používal.

Celou třídu popisuje následující deklarace:

```

class PLAtab
{
    int ** data;
    int  rad;
    int  sl;
public:
    PLAtab ( int r = 0, int s=0, int load = 0 );
    PLAtab ( const PLAtab & src );
    ~PLAtab ( );

    PLAtab & operator= ( const PLAtab & src );
    PLAtab  addR    ( );
    PLAtab  delR    ( int radek );
    PLAtab  delS    ( int sloupec );
    PLAtab  expanse1 ( Node * parent, BDD * dest_bdd);
    PLAtab  expanse0 ( Node * parent, BDD * dest_bdd);
    void    expEnd1  ( Node * parent, BDD * dest_bdd);
    void    expEnd0  ( Node * parent, BDD * dest_bdd);
    void    bdd_z_termu(BDD * dest_bdd);
    int     operator == ( const PLAtab & x ) const;
    int     operator != ( const PLAtab & x ) const;
    int *   operator[] ( int ind );
    const int * operator[] ( int ind ) const;
    friend ostream & operator<< ( ostream & out, const PLAtab & x );
};

```

Třídni proměnná **data** odpovídá dvojrozměrnému poli celočíselných hodnot, kde jednotlivé řádky pole odpovídají řádkům termů v PLA souboru. Proměnná **rad** udává počet řádků matice a je získána z PLA souboru z hodnoty za klíčovým slovem **.p** nebo je spočtena z počtu řádků PLA. A konečně proměnná **sl** udává počet sloupců matice a odpovídá počtu proměnných funkce a její hodnota je získána z PLA souboru z hodnoty za klíčovým slovem **.i**, které v souboru nesmí chybět.

Z metod samozřejmě nechybí konstruktor, kopírující konstruktor, destruktory (vrátí dynamicky přidělenou paměť pro **data**) a operátor pro výstup do proudu.

Navíc jsou implementovány metody, které odlišují třídu PLAtab od obyčejné matice.

PLAtab addR() – slouží k přidání řádku do matice *data*

PLAtab delR( int radek ) – slouží ke smazání řádku, jehož číslo je v argumentu *radek*

PLAtab delS( int sloupec ) – slouží ke smazání sloupce, jehož číslo je v argumentu *sloupec*

PLAtab expanse1 (Node \* parent, BDD \* dest\_bdd)

PLAtab expanse0 (Node \* parent, BDD \* dest\_bdd)

void expEnd1 (Node \* parent, BDD \* dest\_bdd)

void expEnd0 (Node \* parent, BDD \* dest\_bdd)

Všechny tyto metody slouží k načítání BDD za použití Shannonovy expanze. Vstupními argumenty jsou ukazatel na uzel (na kořen BDD) a ukazatel na BDD, které se vytváří.

Podrobnější popis fungování těchto metod je uveden v kapitole 3.3.1.1.

Pro snazší manipulaci s PLAtab jsou přetíženy operátory =,!= a pro indexování pole *data* operátor [].

Ovšem nejdůležitější metodou je bezesporu *bdd\_z\_termu( BDD \* )*, která způsobem popsaným v kapitole 3.3.1.2 vytvoří BDD z jednoho řádku PLA souboru, tedy z jednoho součinového termu.

## 3.2 Reprezentace BDD

Existuje mnoho způsobů jak implementovat BDD popsané v kapitole 2.2. Každá se principiálně liší a jak už to bývá, každá má své výhody a nevýhody. Já jsem šel cestou, na rozdíl od knihovny CUDD, reprezentace BDD jako binárního stromu, kde každý vnitřní uzel má právě dva potomky.

Jak se ukázalo později, není tato volba příliš šťastná. Tento způsob reprezentace je sice nejnázornější a nejpřímochařejší, ale v žádném případě není nejrychlejší ve smyslu vytváření, mazání a modifikace BDD.

### 3.2.1 Třída pro reprezentaci uzlu stromu

Binární strom pro reprezentaci BDD se skládá ze dvou druhů uzlů – terminálních a neterminálních. Neterminální vnitřní uzly jsou v mém případě instance třídy Node, která vypadá takto:



```

class Node {

protected:
    static unsigned int idCount;
    Node * Low;
    Node * High;
    unsigned int varId;
    unsigned int nodeId;
    NodeList parentList;

public:
    Node();
    Node(int vid, Node * l=NULL, Node * h=NULL);

    void bypass(Node * child, Node * newNode);
    unsigned int getId(){ return nodeId; }
    virtual int getValue(){ return -1; }
    virtual bool isTerminal(){ return false; }
    virtual ostream& printInfo(ostream & out)const;
    friend ostream& operator<<(ostream & out,const Node & n);
};

```

Statická třídní proměnná *idCount* má dvě funkce. Jednak udává celkový počet vytvořených uzlů (ne počet uzlů BDD) a jednak řeší potřebu jednoznačného číslování uzlů v rámci BDD. Tato jednoznačná identifikace uzlu je uchována v proměnné *nodeId*. Proměnné *Low* a *High* jsou odkazy na low a high potomka (ve smyslu naznačeném v kapitole 2.2) daného uzlu.

Každý uzel musí korespondovat s výhradně jednou proměnnou funkce, kterou BDD reprezentuje. Označení této proměnné je uchováno v třídní proměnné *varId*.

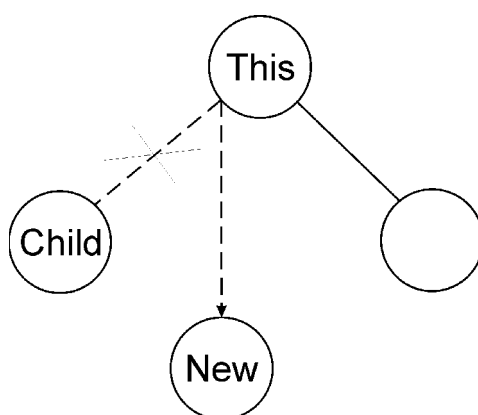
Protože na uzel může odkazovat více rodičovských uzlů (uzlů které mají za low či high potomka tento uzel), potřebujeme během operací nad BDD znát všechny uzly, která na něj tímto způsobem ukazují. To nám zajišťuje zřetězený seznam ukazatelů na uzel *parentList*.

Co se metod týče, nechybí konstruktory (bez parametru i s parametry), přetížený operátor pro výstup do proudu, který využívá virtuální metodu *printInfo()*, která vypíše všechny potřebné informace do proudu, který dostane jako svůj parametr.

Dalšími virtuálními metodami jsou *getValue()*, která v případě neterminálního uzlu vrací -1, a metoda *isTerminal()*, která jak je vidět vrací **false**, protože se nejedná o terminální uzel.

Zajímavou je metoda *bypass(Node \* child, Node \* newNode)*, která „přemostí“ ukazatel na potomka *child* na *newNode*. Lépe je to snad vidět na Obrázku 3.

Poslední je metoda *getId()*, která jak název napovídá, vrací unikátní označení uzlu.



Obrázek 3 - Ukázka funkce metody *bypass* třídy *Node*

Terminální uzly (listy) představují instance třídy *Term*, která je odvozená od třídy *Node*. Její deklarace vypadá takto:

```
class Term : public Node {  
    int value;  
  
    public :  
        Term(int vid, int val, Node * l=NULL, Node * h=NULL) : Node(vid,l,h) {value =  
val; }  
    virtual int getValue() { return value; }  
    virtual bool isTerminal() { return true; }  
    virtual ostream& printInfo(ostream& out) const;  
};
```

Třída dědí vše z třídy Node a má navíc třídní proměnnou *value*, která odpovídá hodnotě logické konstanty, kterou instance Termu reprezentuje.

Jsou také odpovídajícím způsobem přetíženy virtuální funkce zděděné z Node, abych mohl vhodně využít polymorfismu.

### 3.2.2 Třída pro reprezentaci BDD

Když už víme, jak vypadají uzly, z kterých se BDD skládá, můžeme si ukázat, jak vypadá třída BDD. Její deklarace:

```
class BDD {
    int varCt;
    Node * root;
    Mapa tab;
    Term * oneT;
    Term * zeroT;
    NodeList * arrayLevel;
void copy_bdd(BDD & src_BDD);
void del_nodes();

public:
    BDD(int var = 0);
    BDD(int *tt,int n);
    BDD(BDD & src);
    ~BDD();

BDD operator=(BDD &src);
void reduce();
bool isTautology();
void vypisLevely(ostream& out = std::cout) const;
string nacti(char * dst );
void applyOR(BDD & sec, BDD & vysl);
void applyAND(BDD & sec,BDD & vysl);
void applyXOR(BDD & sec,BDD & vysl);
void print_to_file(char * dst);
```

```

float count_nodes();
friend ostream& operator<<(ostream & out,const BDD & dia);
};

```

Každé BDD musí vědět, kolik proměnných má funkce, kterou reprezentuje. Tato hodnota je uchována v proměnné *varCt*. V proměnné *root* je ukazatel na kořen binárního stromu reprezentujícího vlastní logickou funkci. V souladu s redukčním pravidlem o duplicitních terminálech, obsahuje každé BDD pouze jeden terminální uzel od každé logické hodnoty – tedy *oneT*(log 1) a *zeroT*(log 0).

Pro snadnější manipulaci s BDD existuje třídní proměnná *arrayLevel*, což je pole zřetězených seznamů ukazatelů na uzly. Každá položka pole( *arrayLevel*[0] až *arrayLevel*[*varCt*-1] ) odpovídá jedné proměnné, obsahuje tedy uzly z jedné úrovně binárního stromu. *Tab* je hashovací tabulka, která se využívá při redukci BDD k zajištění odstranění redundantních uzlů.

Privátní funkce *copy\_bdd*( BDD & ) vytvoří mělkou kopii (nevytvoří fyzicky nové BDD, jen překopíruje ukazatele) BDD zadaného jako vstupní parametr. Je privátní, protože není vhodné, aby k ní uživatel měl přístup. Stejně tak *del\_nodes*( ), která smaže všechny uzly stromu.

Nechybí implicitní konstruktor, který pouze vytvoří terminální uzly a nastaví počet proměnných logické funkce. Zajímavější je konstruktor *BDD*(*int* \**tt*,*int* *n*), který umí načíst BDD z pole reprezentující pravdivostní tabulku, kde *n* je počet proměnných logické funkce.

Je naimplementována metoda na minimalizaci BDD *reduce*( ), metoda pro zjištění, zda je BDD tautologie *isTautology*( ), metoda *vypisLevely*( ostream& ), kterou využívá přetížený operátor pro výstup do proudu.

Metoda *nacti*(*char* \* *dst* ) načte z PLA souboru *dst* BDD s využitím algoritmu popsaného v kapitole 3.3.1

Funkce *applyOR*(*BDD* &, *BDD* &), *applyAND*(*BDD* &, *BDD* &) a *applyXOR*(*BDD* &, *BDD* &) provádějí logické funkce odpovídající jejich názvům mezi dvěma BDD.

Metoda *print\_to\_file*(*char* \* *dst*) slouží k výpisu BDD do souboru daného jako parametr *dst*. Metoda *count\_nodes*( ) spočítá vnitřní uzly BDD, její složitost není konstantní, ale je lineární v závislosti na počtu uzlů.

### 3.3 Popis nejdůležitějších algoritmů

V tomto odstavci bych rád popsal algoritmy, které jsem použil při načítání, redukci a implementaci logických operací nad BDD.

#### 3.3.1 Algoritmus načítání BDD z PLA souboru

Jak načíst BDD ze zadaného PLA byl asi nejsložitější úkol, který mně při psaní této práce potkal. Přesněji řečeno problém nebyl BDD načíst, ale načíst ho v relativně krátkém čase.

##### 3.3.1.1 Načítání s využitím Shannonovy expanse

Jako první pokus jsem zkusil přesnou implementaci Shannonovy expanse logické funkce. Celý soubor se načte do vnitřní formy – do PLAtab. Poté stačí zavolat nad touto strukturou rekurzivní metody *expanse1(root)* a *expanse0(root)*, které vytvoří pravý a levý podstrom uzlu, který byl dodán jako parametr.

V každém kroku volání expanzní funkce *expanse1( )* mně zajímají pouze termy(řádky), které mají v prvním sloupci(v proměnné podle které expanduji) hodnotu 1 nebo `.`. Řádky začínající nulou mohu s klidným svědomím vypustit. Jak jsem řekl jedná se o rekurzivní metody, takže se aplikují do té doby, dokud má tabulka nějaké řádky a sloupce. Před zavoláním expanzních funkcí na takto upravenou tabulku, odstraním první sloupec tabulky a posunu se tím na další proměnnou. Pokud zbývá už jediná proměnná, zavolají se funkce *expEnd1( )* a *expEnd0( )*, které celou expansi ukončí. Stejně funguje *expanse0( )*, s tím rozdílem, že ji zajímají řádky začínající 0 nebo `.`.

Nejlépe bude asi vše vidět na příkladě:

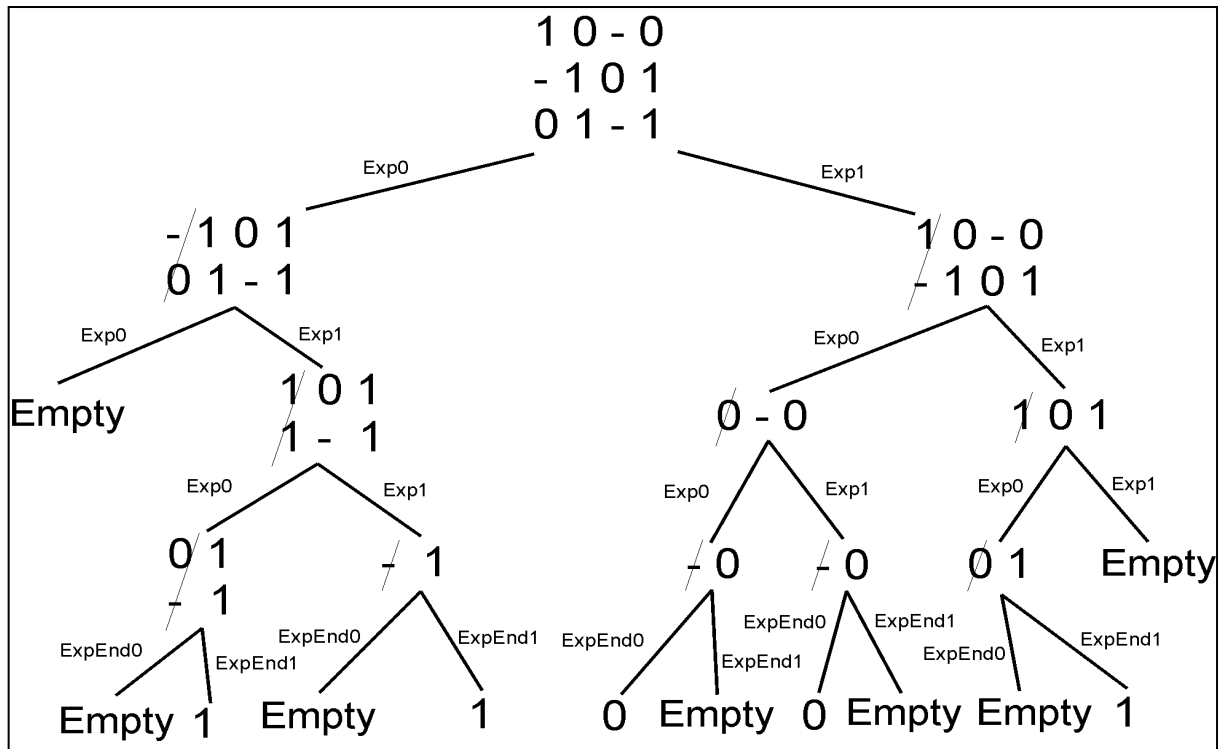
Mějme PLA tabulku (tab1.pla) :

```
10-0 1
-101 1
01-1 1
```

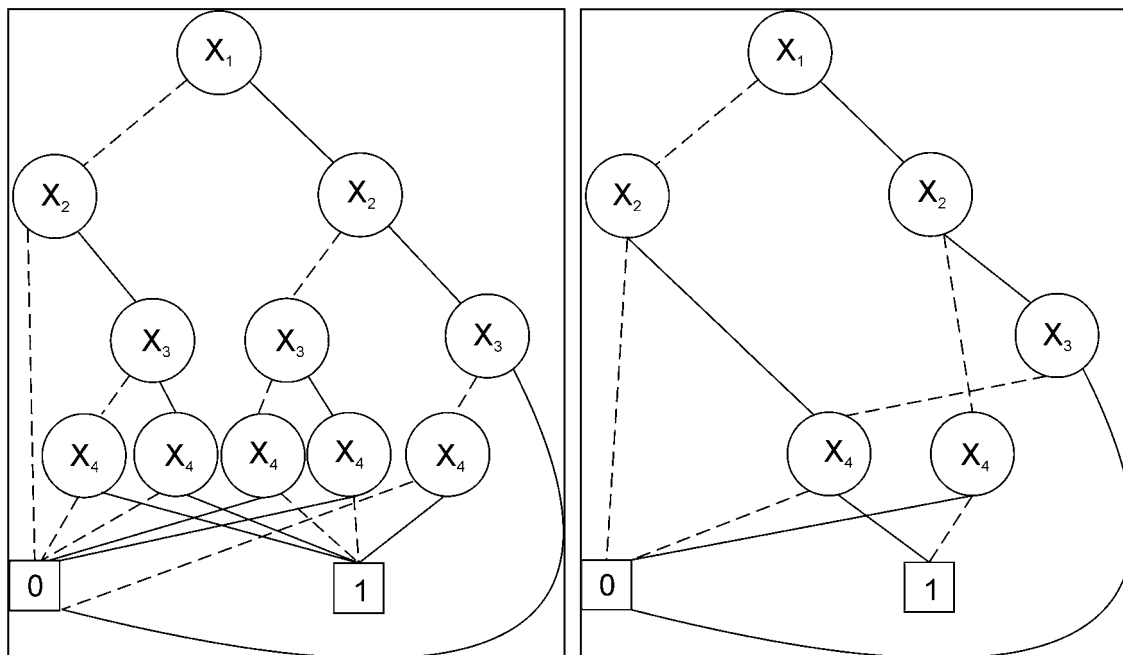
Potom hierarchie volání metod *expanse1( )* a *expanse0( )* je vidět na Obrázku 4. Na Obrázku 5 je vidět binární strom, který tyto metody vytvoří.

Vytváření BDD takovýmto způsobem je značně neefektivní. Nejenom, že vznikne BDD, které rozhodně není minimalizované (jak je vidět na rozdílu mezi Obrázkem 5a a Obrázkem 5b), ale celý postup vytváření stromu z PLAtab má značnou výpočetní a

paměťovou náročnost. Každá metoda `expand` musí pracovat se svojí kopií aktuální PLAtab (jak je vidět z Obrázku 4) a to v případě tabulek velkých rozměrů zdržuje. Proto jsem od této metody načítání upustil, nicméně i tento způsob je implementován a je plně funkční.



Obrázek 4 – Strom rekurzivního volání metod `expand`



a) bez aplikace redukce

b) po aplikaci redukce

Obrázek 5 – Strom vzniklý aplikací Shannonovy expanse na tab1.pla

### 3.3.1.2 Načítání s využitím apply funkce

Tento způsob je o poznání rychlejší. Spočívá v tom, že načítám postupně BDD ne z celé PLA tabulky, ale jen z jednoho řádku (tedy z jednoho termu) a na jednotlivé řádky aplikuji logický součet pomocí apply funkce OR (v duchu principu popsaném v kapitole 2.5.1).

Načtení BDD z jednoho součinného termu je značně jednodušší než aplikace Shannonovy expanse na součet součinných termů. U každé proměnné provádíme test právě jednou. Nemůže se tedy stát, že by vznikl nějaký redundantní uzel. Pokud je proměnná v logické 1, směřuji low potomka do nulového terminálu. Pokud je v logické 0, high potomek musí být nulový terminál a pokud je proměnná v hodnotě '-' (don't care), jednoduše se v BDD nevyskytne a přejdu na test další proměnné. Tento postup je implementován v metodě *bdd\_z\_termu()* třídy PLAtab.

U apply funkce se s úspěchem dají využít vyhledávací nebo hashovací tabulky. Jedna se využívá k tomu, abychom produkovali již redukované BDD a nemuseli explicitně po načtení BDD minimalizovat. Stačí si v tabulce uchovávat uzly, které již strom obsahuje a předtím než vytvoříme nový uzel, zkontrolujeme tabulku, zda takový uzel již neexistuje. Pokud ano, nevytváříme nový uzel, ale odkaz, který měl vézt do nového

uzlu, přesměrujeme do uzlu z tabulky. Pokud v tabulce ještě není, vytvoříme ho a přidáme do tabulky. Takto máme zajištěnou minimalizaci výsledného BDD, protože BDD načtené z jednoho řádku je redukováné a apply funkce tuto redukci zachovává.

Druhá tabulka se využívá pro dynamické programování, abychom zefektivnili výpočet. Apply funkce je funkce rekurzivní a proto se může stát, že ji budeme volat s naprosto totožnými parametry vícekrát. To je samozřejmě časově neefektivní a lze tomu snadno zabránit. Do této druhé tabulky si ukládáme dvojice uzlů, pro kterou byla funkce apply počítána, spolu s výsledkem, který funkce vrátila. Poté stačí na začátku každé iterace funkce zkontrolovat tabulku, zda jsme pro dané argumenty již funkci nepočítali. Využitím této tabulky se dostáváme se složitostí operace apply na  $O(|u_1| * |u_2|)$ , kde  $|u_1|$  je počet uzlů grafu  $u_1$  a  $|u_2|$  počet uzlů grafu  $u_2$ . Tímto je také daná maximální velikost výsledného grafu, potažmo velikost hashování tabulky, protože každé volání funkce přispěje maximálně jedním uzlem do výsledného grafu.

V pseudo kódu vypadá apply funkce nějak takto:

```
apply(u1, u2, operatorOR)
{
// vysledky – tabulka s již počítanými dvojicemi uzlů a s výsledkem jaký funkce vrátila
// tabUzlu – tabulka s již existujícími uzly stromu

if(vysledky.isIn(u1,u2)) return vysledky.get(u1,u2);
//pokud už jsem pro u1 a u2 apply funkci počítal, vrátím hodnotu z tabulky výsledků

if(u1.isTerminal() and u2.isTerminal()) return operatorOR(u1,u2);
//pokud jsou oba uzly terminály, tak jednoduše spočítám návratovou hodnotu

else if(var(u1) = var(u2))
{
    TmpA = apply(u1->Low,u2->Low,operatorOR); // levý podstrom
    TmpB = apply(u1->High,u2->High,operatorOR); // pravý podstrom
    if(TmpA == TmpB) return TmpA; //uplatnění 3.redukčního pravidla z kap.2.3.2

//podívej se do tabulky uzlů, zda neexistuje uzel, který by měl low-potomka
```



```

// TmpA a high-potomka TmpB
if(tabUzlu.isIn(TmpA,TmpB))
{
    return tabUzlu.get(TmpA,TmpB);
}
else
{
    u = new Node(TmpA,TmpB);
    tabUzlu.insert(TmpA,TmpB,u)
}
}

else if(var(u1) < var(u2))
{
    TmpA = apply(u1->Low,u2,operatorOR); // levý podstrom
    TmpB = apply(u1->High,u2,operatorOR); // pravý podstrom
    if(TmpA == TmpB) return TmpA; // uplatnění 3. redukčního pravidla z kap.2.3.2

    // podívej se do tabulky uzlů, zda neexistuje uzal, který by měl low potomka
    // TmpA a high potomka TmpB
    if(tabUzlu.isIn(TmpA,TmpB))
    {
        return tabUzlu.get(TmpA,TmpB);
    }
    else
    {
        u = new Node(TmpA,TmpB);
        tabUzlu.insert(TmpA,TmpB,u)
    }

else if(var(u1) > var(u2))
{
    TmpA = apply(u1,u2->Low,operatorOR); // levý podstrom

```

```

    TmpB = apply(u1,u2->High,operatorOR); // pravý podstrom
    if(TmpA == TmpB) return TmpA; //uplatnění 3. redukčního pravidla z kap.2.3.2

    //podívej se do tabulky uzlů, zda neexistuje uzel, který by měl low potomka
    // TmpA a high potomka TmpB
    if(tabUzlu.isIn(TmpA,TmpB)) return tabUzlu.get(TmpA,TmpB);
    else
    {
        u = new Node(TmpA,TmpB);
        tabUzlu.insert(TmpA,TmpB,u)
    }
}
}

```

### 3.3.2 Algoritmus pro redukci(minimalizaci) BDD

Pro účely načítání BDD Shannonovou expansí jsem implementoval algoritmus, který ze zadaného OBDD udělá ROBDD. Jedná se o přímou implementaci redukčních pravidel z kapitoly 2.3.2.

Jde o metodu implementovanou nad strukturou BDD. Prochází všechny uzly stromu, začíná od nejnižší úrovně v poli *arrayLevel*, a hledá redundance.

Pro každý uzel určuje, zda daný uzel nemá v tabulce *tab* svůj ekvivalent. Pokud ano, potom všechny vstupní hrany (využití seznamu *parentList*) přesměruje do tohoto ekvivalentu, který získá z tabulky, a kontrolovaný uzel smaže. Po projití všech uzlů stromu máme jistotu, že dané OBDD je už ROBDD!

Metoda popsaná pro přehlednost v částečném pseudokódu:

```

void BDD::reduce(){
    tab.clear();
    for(int i = početProměnných-1; i>0; i--)
    {
        pro všechny uzly u z arrayLevel[i] do
        {
            // 2. redukční pravidlo

```

```

if(u->Low == u->High)
{
    //iteruj přes všechny rodičovské uzly
    pro všechny uzly p z u->parentList do
    {
        p->bypass(u,u->Low);
    }
    delete u;
    continue;
}
// 3. redukční pravidlo
if(tab.isEkvivalentIn(u)
{
    //iteruj přes všechny rodičovské uzly
    pro všechny uzly p z u->parentList do
    {
        p->bypass(u,tab.getEkvivalent(u));
    }
    delete u;
}
else //ekvivalent není v tabulce
{
    tab.insert(u);
}
}
}
// aby při tautologii zůstal opravdu jen terminál 1
if (root->Low == root->High)
{
    delete root;
    root = root->Low;
}
}

```

### **3.3.3 Algoritmy pro logické operace mezi dvěma BDD**

Implementoval jsem funkce pro logický AND, OR a XOR. Všechny funkce využívají funkci apply, jak byla popsána v kapitole 3.3.1.2. Liší se jen operátorem, s kterým je apply funkce volána.

Proto pokud by bylo potřeba implementovat jinou operaci než tyto tři, stačí připsat příslušnou funkci a jsme hotovi.

## 4 Porovnání s jinými implementacemi

V této kapitole se pokusím porovnat moji implementaci s jinými dostupnými. Po dohodě s ing. Fišerem jsme vybrali knihovnu CUDD, která taktéž využívá BDD a potom metodu kolegy Chromého, která postupuje odlišným způsobem.

### 4.1 Knihovna CUDD

Knihovna CUDD je počín Fabia Somenziho z University of Colorado. Jde o nástroj pro manipulaci zejména s BDD, ale umí pracovat i s algebraickými rozhodovacími diagramy (ADD) a zero-suppressed diagramy (ZDD).

Tato knihovna je značně rozsáhlá a propracovaná. Pokud bych měl porovnat způsob implementace s mojí, nacházím velké rozdíly. Acyklický graf je zde reprezentován tabulkou, ne binárním stromem jako u mne. Jednotlivým uzlům grafu odpovídají řádky v této tabulce. Veškeré operace nad BDD jsou řešeny operacemi nad touto tabulkou a nutno říci, že tento způsob je mnohem rychlejší oproti mé implementaci.

Výrazným rozdílem je i použití komplementárních hran. Zatímco já používám pouze jeden druh hran, CUDD používá kromě normálních i negované hrany.

Načítání souborů PLA není implementováno, nicméně v rámci bakalářské práce Ondřeje Kološe[9] byla tato funkce doplněna a mohu proto v rámci praktických měření obě metody porovnat. Jak se ukázalo, je balík CUDD výpočetně velice rychlý a kompaktní.

### 4.2 Test tautologie výpočtem komplementu logické funkce

Tato implementace zjišťování tautologie vznikla jako semestrální projekt kolegy Radka Chromého[8].

*Celý algoritmus funguje takto:*

1. přečte se term ze souboru
2. podíváme se do paměti a zpracujeme ho podle pravidel
3. pokud je ještě něco v souboru, skočí na 1.
4. uloží výsledky do souboru a ukončí se.

Program postupně ořezává přečtené termy od termů uložených v paměti.  
Na počátku je v paměti term obsahující samé "-", tj. term který je tautologie.

***Nejdříve si zavedeme několik pojmů a identifikátorů:***

Zaved'me nad množinou symbolů "-",0,1" operace "<,==,!=,NEG" definované takto:

- 1.) '0' != '1';
- 2.) '0' < '-'; '1' < '-';
- 3.) '0' == '0'; '1' == '1'; '2' == '2';
- 4.) NEG(0) = 1; NEG(1) = 0;

Nechť *i* je index booleovské proměnné v rozsahu <1..PROM\_COUNT>, indexujeme je v hranatých závorkách [*i*], kde PROM\_COUNT je počet proměnných,

*N* je počet nově vzniklých termů

*A* je seznam indexů, pro které platí podmínka v pravidle 3., indexovatelný indexem *j*

*j* je "index" pro který platí podmínka v pravidle 3.

*h[i]* je hodnota *i*-té proměnné.

*t\_cten* je přečtený term ze vstupního souboru

*t\_mem* je aktuální term v paměti z množiny všech termů v paměti T\_MEM

*t\_new(t\_kopie)* je nově vzniklý term, mající stejné ohodnocení *h[i]* jako term *t\_kopie*, pro všechny *i*

*t\_mem.h[i]* je hodnota *i*-té proměnné termu v paměti

***Při přečtení termu se v paměti term zpracuje podle následujících pravidel:***

1.) iff  $t\_mem.h[i] == t\_cten.h[i]$  nebo  $t\_mem.h[i] < t\_cten.h[i]$  pro všechny *i* v daném rozsahu, pak je čtený člen v paměti a z paměti se vypustí

2.) iff  $t\_mem.h[i] != t\_cten.h[i]$  pro nějaké *i*, pak se nic nemění( term nepokrývá žádnou proměnou v paměti )

3.) iff  $t\_cten.h[i] < t\_mem.h[i]$  pro nějaké *i* a současně neplatí ani 1. ani 2., pak dochází k rozštěpení termu:

Term se rozštěpí na *N* termů takto:

$t\_new\_1(t\_mem).h[A[j]] = NEG(t\_cten.h[A[j]])$  pro *i* pro které platí podmínka 3.

$t\_new\_j(t\_mem).h[A[j]] = NEG(t\_new1.h[A[j]])$

$t\_new\_j(t\_mem).h[A[j+1]] = NEG(t\_cten.h[A[j+1]])$  ... pro všechny  $0 < j \leq N$

Tyto termy se uloží do paměti.

***Jak se to dělá v příkladu :***

nechť toto je obsah vstupního souboru:

00--

-10-

1111

-01-

*Inicializace:*

paměť: ----

**krok1:**

přečte: 00--

porovnání: 00-- ... ---- pravidlo 3. rozdělí na 2: množina  $A = \{1,2\}$

rozdělení: 1--- + 01--

paměť: 1--- + 01--

**krok2:**

přečte: -10-

porovnání: 1--- ... -10- pravidlo 3. rozdělení na 2: množina  $A = \{2,3\}$

rozdělení: 10-- 111-

porovnání: 01-- ... -10- pravidlo 3. rozdělení na 1: množina  $A = \{1\}$

rozdělení: 011-

paměť: 10-- + 111- + 011-

**krok3:**

přečte: 1111

porovnání: 10-- ... 1111 pravidlo 2. nic neprovádí

porovnání: 111- ... 1111 pravidlo 3. rozdělení na 1: množina  $A = \{4\}$

rozdělení: 1110

porovnání: 011- ... 1111 pravidlo 2. nic neprovádí

paměť: 10-- + 1110 + 011-

**krok4:**

přečte: -01-

porovnání: 10-- ... -01- pravidlo 3. rozdělení na 1: množina  $A = \{1\}$

rozdělení: 100-

porovnání: 1110 ... -01- pravidlo 2. nic neprovádí

porovnání: 011- ... -01- pravidlo 2. nic neprovádí

paměť: 100- + 1110 + 011-

**krok5:**

nic se nečte

uložení do souboru:

"funkce není tautologie"

100-

1110

011-

***Složitost algoritmu:***

Tento algoritmus prochází při každém kroku celou paměť, tzn.  $N$  porovnání na  $M$  kroků. Paměť se ale dynamicky mění a je těžké odhadnout složitost. Nicméně v každém kroku se může term v paměti násobit nejhůře mohutností množiny  $A$  (3. pravidlo) a tato mohutnost je menší než  $PROM\_COUNT$ .

Maximální velikost potřebné paměti na uchování termu je v nejhorším případě  $2^{(PROM\_COUNT - 1)}$ .

To znamená, že nejhorší časová složitost je pak  $M * PROM\_COUNT * 2^{(PROM\_COUNT - 1)}$  operací porovnání.

**4.3 Naměřené hodnoty**

Pro vytváření testovacích PLA souborů jsem využil generátor, jež vznikl jako bakalářská práce na naší fakultě a jehož autorem je Tomáš Měchura[7].

K testování byl použit počítač AMD Athlon XP 2200+ s 512 MB RAM.



Metoda výpočtu komplementu funkce podává velice dobré výsledky i pro rozsáhlé funkce, u kterých ovšem nepřesáhne don't care vstupních hodnot 50%. Pokud se tak stane, nedočkáme se v reálném čase výsledku i pro funkce s poměrně malým počtem vstupních proměnných (řádově už pro 50 vstupních proměnných).

Empiricky získané výsledky poměrně jasně ukazují, že knihovna CUDD je velice dobře zpracovaná. Její problémy začínají, až když procento zastoupení don't care vstupů přesáhne 70%. Poté vzniká již BDD s takovým množstvím uzlů, že je není možno v přijatelném čase zpracovat. Ale pro funkce, které toto kritérium splňují, dává funkce výsledky v téměř konstantním čase i pro funkce s řádově stovkami vstupních proměnných.

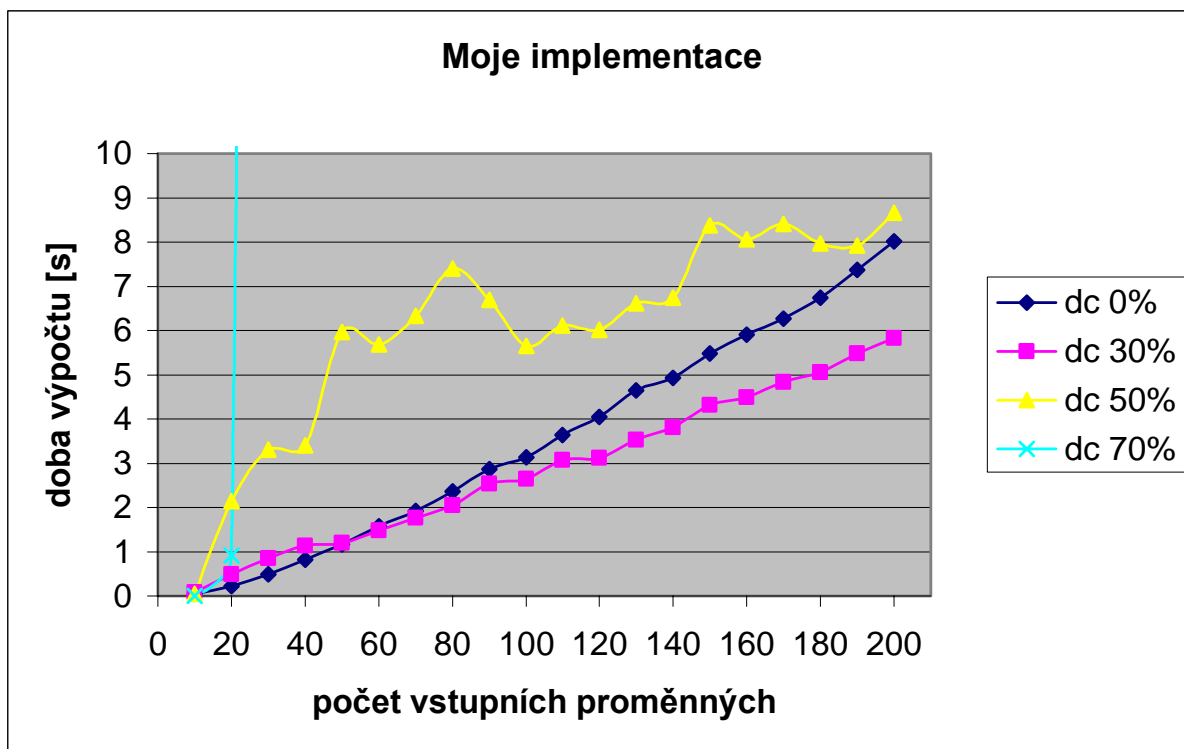
Moje implementace podává solidní výsledky i pro velké funkce, pokud ovšem nemají na vstupu více jak 50% don't care hodnot. Při překročení této hranice musíme počítat s delším výpočetním časem. Nicméně jak je vidět z tabulek naměřených hodnot, výsledek na rozdíl od metody počítání komplementu funkce dostaneme.

Složitost mé implementace je dána několika dílčími složitostmi. Načtení BDD z jednoho termu má složitost lineární s počtem proměnných  $O(i)$ , protože každá proměnná se testuje pouze jednou. Toto načítání se aplikuje  $p$ -krát, kde  $p$  je počet termů v PLA souboru. Po každém kroku se aplikuje apply funkce se složitostí  $O(|u1| * |u2|)$ , kde  $u1$  je počet uzlů jednoho BDD a  $u2$  počet uzlů druhého. Dostáváme tak výpočetní složitost  $O(p * (i + |u1| |u2|))$ . Maximální počet uzlů u redukovaného BDD je dáno vztahem :

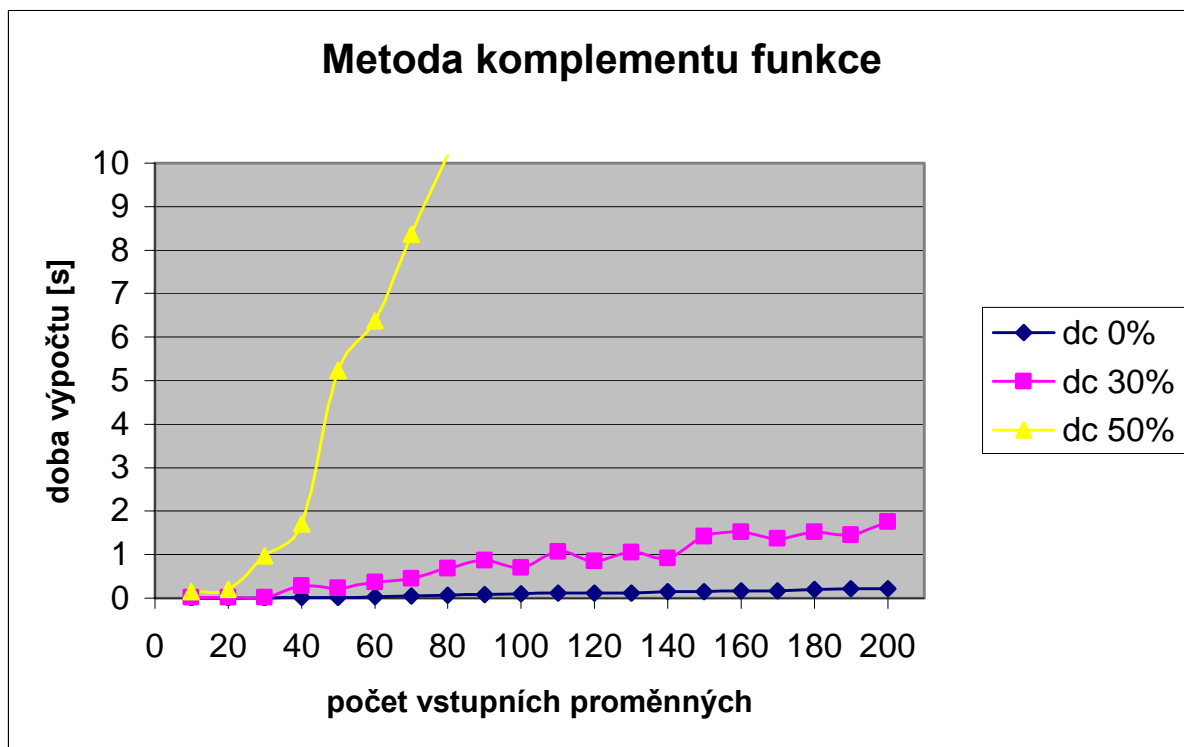
$$\Phi_{\max} = \sum_{K=0}^{i-1} \min(2^K, 2^{2^{i-K}} - 2^{2^{i-K-1}})$$

kde  $i$  je počet proměnných funkce.

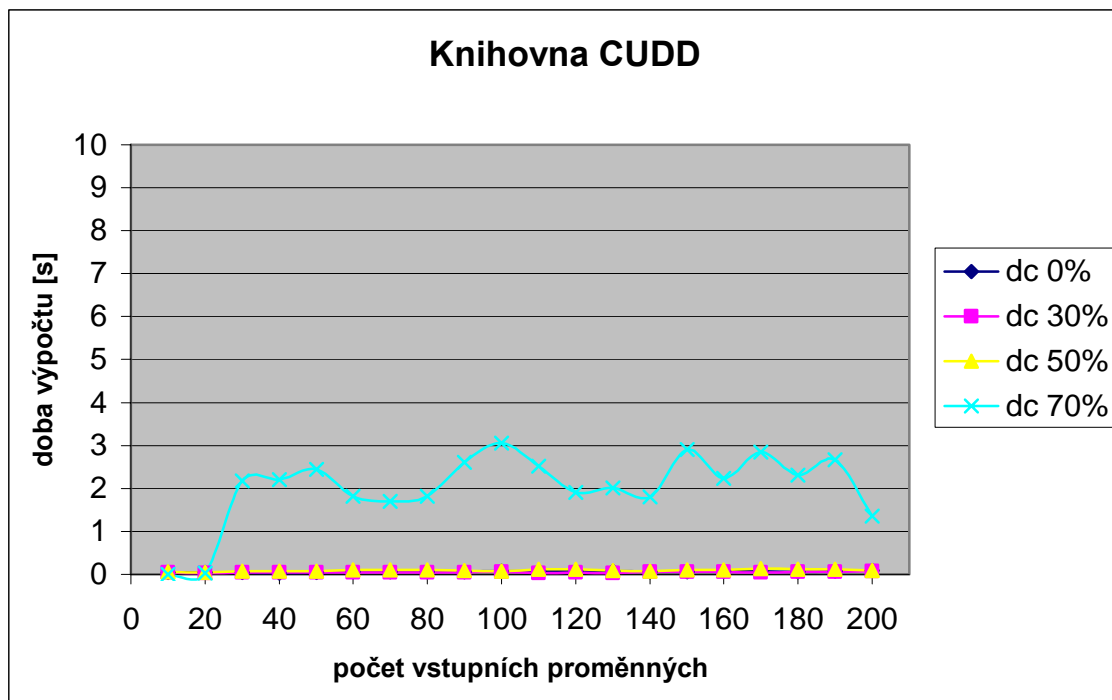
Jak reagují jednotlivé implementace na změnu počtu proměnných a don't care vstupů ukazují následující grafy:



Obrázek 6 – Závislost doby výpočtu na počtu vstupních proměnných u mé implementace



Obrázek 7 – Závislost doby výpočtu na počtu vstupních proměnných u implementace Radka Chromého



Obrázek 8 – Závislost doby výpočtu na počtu vstupních proměnných u knihovny CUDD

## 5 Závěr

V rámci této bakalářské práce vznikl nástroj, který je schopen o funkci zadané v notaci PLA Espresso rozhodnout, zda jde o tautologii, či nikoliv. Umí i něco navíc – aplikovat logické funkce (or,xor,and) mezi dvěma BDD. Nevznikl na funkce tak bohatý balík, jakým je např. CUDD. Ani výkonnost není taková, jakou bych si představoval, když jsem přebíral zadání. Ale určitě je na čem stavět a co vylepšovat.

Nabízí se hned několik možných cest :

- Rozšířit pole působnosti i na vícevýstupové logické funkce
- Doplnit nové funkce pro práci s BDD
- Implementovat algoritmy pro změnu uspořádání proměnných (variable reordering)
- Změnit způsob reprezentace grafu z binárního stromu na hashování tabulku

Tento program je psaný v čistě objektovém duchu, který dovoluje jazyk C++. Proto by neměl být vážnější problém se s balíkem rychle seznámit a případně doprogramovat potřebné funkce.

## 6 Seznam literatury

- [1] Randal E. Bryant: Symbolic Boolean manipulation with ordered binary decision diagrams, ACM Computing Surveys, 24(3):293-318, September 1992
- [2] Henrik Reif Andersen: An Introduction to Binary Decision Diagrams, Lecture notes for 49285 Advanced Algorithms E97, October 1997.  
Department of Information Technology, Technical University of Denmark.
- [3] Randal E. Bryant: Graph based algorithms for Boolean function manipulation  
IEEE Transactions on Computers, 8(C-35):667-691, 1986
- [4] S.B. Avers: Binary decision diagrams.  
IEEE Transactions on Computers C-27, 6 (Aug.), pp. 509–516. 1978
- [5] G. Kolotov, I. Levin, V. Ostrovsky: Techniques for formal transformations of binary decision diagrams  
School of Engineering, Tel-Aviv University
- [6] M. Virius: Programování v C++, skriptum ČVUT Praha, 1999
- [7] Tomáš Měchura: Parametrizovaný generátor náhodných booleovských funkcí,  
Bakalářská práce, ČVUT v Praze, FEL, 2006
- [8] Radek Chromý: Detekce tautologie, výpočet komplementu booleovské funkce,  
Semestrální projekt, ČVUT v Praze, FEL, 2004
- [9] Ondřej Kološ: Port balíku CUDD pod Windows,  
Bakalářská práce, ČVUT v Praze, FEL, 2006
- [10] <http://vlsi.colorado.edu/~fabio/CUDD/>
- [11] <http://www.engineering.uiowa.edu/~switchin/espresso.5.html>

## ***A. Formát souboru notace PLA Espresso***

Jako zdroj dat pro načítání logických funkcí byly použity soubory typu PLA formátu Espresso, proto se krátce zmíním o jejich struktuře.

Na začátku souboru se nachází klíčová slova, která popisují strukturu a vlastnosti souboru. Po nich jsou vypsány řádky se součinovými termy. Celou funkci potom dostáváme jako logický součet všech těchto řádků (termů).

### ***Klíčová slova***

V následujících definicích [d] znamená celé desítkové číslo a [s] znamená řetězec. Každý soubor jich může obsahovat různý počet, ovšem dvě jsou vyžadovány vždy. Jsou to :

**.i [d]** – udává počet vstupních proměnných

**.o [d]** - udává počet výstupních proměnných

dále může obsahovat :

**.mv [num\_var] [num\_binary\_var] [d<sub>1</sub>] . . . [d<sub>n</sub>]**

specifikuje počet proměnných, počet binárních proměnných a velikost každé vícehodnotové proměnné [d<sub>1</sub> až d<sub>n</sub>].

**.ilb [s<sub>1</sub>] [s<sub>2</sub>] . . . [s<sub>n</sub>]**

pojmenovává binární proměnné. Musí následovat po **.i** a **.o**(nebo po **.mv**). Názvů musí být stejný počet jako vstupních proměnných.

**.ob [s<sub>1</sub>] [s<sub>2</sub>] . . . [s<sub>n</sub>]**

pojmenovává výstupní funkce. Musí následovat po **.i** a **.o**(nebo po **.mv**). Názvů musí být stejný počet jako výstupních proměnných.

**.label var=[d] [s<sub>1</sub>] [s<sub>2</sub>] ...**

u vícehodnotové logiky specifikuje názvy proměnné.

**.type [s]**

nastavuje logickou interpretaci charakteristické matice. Nabývá hodnot f, r, fd, fr, dr, nebo fdr.

**.phase [s]**

[s] je string tolika 0 nebo 1, kolik je výstupních funkcí.

Specifikuje polaritu pro každou výstupní funkci, která se má použít pro minimalizaci( 1 specifikuje ON-set a 0 specifikuje OFF-set výstupní funkce ).

**.pair [d]**

specifikuje počet párů proměnných, které spolu budou párovány použitím dvoubitových dekodérů.

**.symbolic [s<sub>0</sub>] [s<sub>1</sub>] . . . [s<sub>n</sub>] ; [t<sub>0</sub>] [t<sub>1</sub>] . . . [t<sub>m</sub>] ;**

specifikuje, že binární proměnné [s<sub>0</sub>] až [s<sub>n</sub>] jsou považovány za jednu vícehodnotovou proměnnou.

**.symbolic-output [s<sub>0</sub>] [s<sub>1</sub>] . . . [s<sub>n</sub>] ; [t<sub>0</sub>] [t<sub>1</sub>] . . . [t<sub>m</sub>] ;**

specifikuje, že výstupní funkce [s<sub>0</sub>] až [s<sub>n</sub>] jsou považovány za jednu symbolickou výstupní funkci.

**.kiss**

nastavuje se pro kiss minimalizaci

**.p [d]**

specifikuje počet součinných termů. Tyto termy následují ihned po tomto klíčovém slovu.

**.e (.end)**

značí konec PLA popisu

Pro naše účely vystačíme s **.i**, **.o**(vždy bude 1), může následovat **.ilb** a **.ob**, počet termů může být explicitně vyjádřen klíčovým slovem **.p** nebo se zjistí z počtu řádků termů. Konec PLA popisu také není povinný, potom jeho funkci přebírá konec souboru. Každý řádek (term) obsahuje vektor hodnot vstupních proměnných, které nabývají hodnot 1, 0, a '-' . Jednička znamená, že daný literál se v termu vyskytuje v nenegované podobě, 0 v negované podobě a konečně '-' daný literál se v termu nevyskytuje. Následuje mezera a výstupní hodnotu funkce(pro naše účely bude funkce zadána onsetem – tudíž výstup bude vždy 1).

### **Ukázkové příklady PLA**

**Příklad 1** – Funkce o 5 proměnných, jsou zadány jejich jména, zadáno jméno výstupní proměnné, explicitně vyjádřen počet termů a nechybí ukončení PLA.

```
.i 5
.o 1
.ilb a b c d e
.ob y
.p 4
10-0- 1
-0-11 1
00-0- 1
-1101 1
.e
```

Představuje funkci :  $y = \overline{abd} + \overline{bde} + \overline{abd} + bc\overline{de}$

**Příklad 2** – funkce o 3 proměnných, minimální forma zadání

```
.i 3
.o 1
10- 1
001 1
101 1
1-0 1
```

Počet termů je získán z počtu řádků.



## B. Tabulky naměřených hodnot

| File                | .i  | .o | .p  | % dc vstupů | Čas   | tautologie |
|---------------------|-----|----|-----|-------------|-------|------------|
| Dc0File10x100.pla   | 10  | 1  | 100 | 0           | 0,047 | ne         |
| Dc0File20x100.pla   | 20  | 1  | 100 | 0           | 0,218 | ne         |
| Dc0File30x100.pla   | 30  | 1  | 100 | 0           | 0,484 | ne         |
| Dc0File40x100.pla   | 40  | 1  | 100 | 0           | 0,812 | ne         |
| Dc0File50x100.pla   | 50  | 1  | 100 | 0           | 1,172 | ne         |
| Dc0File60x100.pla   | 60  | 1  | 100 | 0           | 1,578 | ne         |
| Dc0File70x100.pla   | 70  | 1  | 100 | 0           | 1,922 | ne         |
| Dc0File80x100.pla   | 80  | 1  | 100 | 0           | 2,360 | ne         |
| Dc0File90x100.pla   | 90  | 1  | 100 | 0           | 2,859 | ne         |
| Dc0File100x100.pla  | 100 | 1  | 100 | 0           | 3,141 | ne         |
| Dc0File110x100.pla  | 110 | 1  | 100 | 0           | 3,640 | ne         |
| Dc0File120x100.pla  | 120 | 1  | 100 | 0           | 4,047 | ne         |
| Dc0File130x100.pla  | 130 | 1  | 100 | 0           | 4,641 | ne         |
| Dc0File140x100.pla  | 140 | 1  | 100 | 0           | 4,922 | ne         |
| Dc0File150x100.pla  | 150 | 1  | 100 | 0           | 5,485 | ne         |
| Dc0File160x100.pla  | 160 | 1  | 100 | 0           | 5,907 | ne         |
| Dc0File170x100.pla  | 170 | 1  | 100 | 0           | 6,265 | ne         |
| Dc0File180x100.pla  | 180 | 1  | 100 | 0           | 6,734 | ne         |
| Dc0File190x100.pla  | 190 | 1  | 100 | 0           | 7,375 | ne         |
| Dc0File200x100.pla  | 200 | 1  | 100 | 0           | 8,016 | ne         |
| Dc30file10x100.pla  | 10  | 1  | 100 | 30          | 0,078 | ne         |
| Dc30file20x100.pla  | 20  | 1  | 100 | 30          | 0,485 | ne         |
| Dc30file30x100.pla  | 30  | 1  | 100 | 30          | 0,843 | ne         |
| Dc30file40x100.pla  | 40  | 1  | 100 | 30          | 1,141 | ne         |
| Dc30file50x100.pla  | 50  | 1  | 100 | 30          | 1,203 | ne         |
| Dc30file60x100.pla  | 60  | 1  | 100 | 30          | 1,484 | ne         |
| Dc30file70x100.pla  | 70  | 1  | 100 | 30          | 1,766 | ne         |
| Dc30file80x100.pla  | 80  | 1  | 100 | 30          | 2,047 | ne         |
| Dc30file90x100.pla  | 90  | 1  | 100 | 30          | 2,531 | ne         |
| Dc30file100x100.pla | 100 | 1  | 100 | 30          | 2,641 | ne         |
| Dc30file110x100.pla | 110 | 1  | 100 | 30          | 3,078 | ne         |
| Dc30file120x100.pla | 120 | 1  | 100 | 30          | 3,125 | ne         |
| Dc30file130x100.pla | 130 | 1  | 100 | 30          | 3,531 | ne         |
| Dc30file140x100.pla | 140 | 1  | 100 | 30          | 3,813 | ne         |
| Dc30file150x100.pla | 150 | 1  | 100 | 30          | 4,313 | ne         |
| Dc30file160x100.pla | 160 | 1  | 100 | 30          | 4,484 | ne         |
| Dc30file170x100.pla | 170 | 1  | 100 | 30          | 4,828 | ne         |
| Dc30file180x100.pla | 180 | 1  | 100 | 30          | 5,053 | ne         |
| Dc30file190x100.pla | 190 | 1  | 100 | 30          | 5,484 | ne         |
| Dc30file200x100.pla | 200 | 1  | 100 | 30          | 5,828 | ne         |

| File                | .i  | .o | .p  | % dc vstupů | Čas     | tautologie |
|---------------------|-----|----|-----|-------------|---------|------------|
| Dc50file10x100.pla  | 10  | 1  | 100 | 50          | 0,047   | ne         |
| Dc50file20x100.pla  | 20  | 1  | 100 | 50          | 2,141   | ne         |
| Dc50file30x100.pla  | 30  | 1  | 100 | 50          | 3,313   | ne         |
| Dc50file40x100.pla  | 40  | 1  | 100 | 50          | 3,406   | ne         |
| Dc50file50x100.pla  | 50  | 1  | 100 | 50          | 5,969   | ne         |
| Dc50file60x100.pla  | 60  | 1  | 100 | 50          | 5,687   | ne         |
| Dc50file70x100.pla  | 70  | 1  | 100 | 50          | 6,328   | ne         |
| Dc50file80x100.pla  | 80  | 1  | 100 | 50          | 7,407   | ne         |
| Dc50file90x100.pla  | 90  | 1  | 100 | 50          | 6,687   | ne         |
| Dc50file100x100.pla | 100 | 1  | 100 | 50          | 5,656   | ne         |
| Dc50file110x100.pla | 110 | 1  | 100 | 50          | 6,109   | ne         |
| Dc50file120x100.pla | 120 | 1  | 100 | 50          | 6,015   | ne         |
| Dc50file130x100.pla | 130 | 1  | 100 | 50          | 6,609   | ne         |
| Dc50file140x100.pla | 140 | 1  | 100 | 50          | 6,735   | ne         |
| Dc50file150x100.pla | 150 | 1  | 100 | 50          | 8,375   | ne         |
| Dc50file160x100.pla | 160 | 1  | 100 | 50          | 8,062   | ne         |
| Dc50file170x100.pla | 170 | 1  | 100 | 50          | 8,407   | ne         |
| Dc50file180x100.pla | 180 | 1  | 100 | 50          | 7,969   | ne         |
| Dc50file190x100.pla | 190 | 1  | 100 | 50          | 7,922   | ne         |
| Dc50file200x100.pla | 200 | 1  | 100 | 50          | 8,657   | ne         |
| Dc70file10x100.pla  | 10  | 1  | 100 | 70          | 0       | ano        |
| Dc70file20x100.pla  | 20  | 1  | 100 | 70          | 0,906   | ne         |
| Dc70file30x100.pla  | 30  | 1  | 100 | 70          | 106,781 | ne         |
| Dc70file40x100.pla  | 40  | 1  | 100 | 70          | 191,687 | ne         |
| Dc70file50x100.pla  | 50  | 1  | 100 | 70          | 280,922 | ne         |
| Dc70file60x100.pla  | 60  | 1  | 100 | 70          | 195,609 | ne         |
| Dc70file70x100.pla  | 70  | 1  | 100 | 70          | 163,687 | ne         |
| Dc70file80x100.pla  | 80  | 1  | 100 | 70          | 128,125 | ne         |
| Dc70file90x100.pla  | 90  | 1  | 100 | 70          | 207,125 | ne         |
| Dc70file100x100.pla | 100 | 1  | 100 | 70          | 245,219 | ne         |
| Dc70file110x100.pla | 110 | 1  | 100 | 70          | 130,625 | ne         |
| Dc70file120x100.pla | 120 | 1  | 100 | 70          | 172,422 | ne         |
| Dc70file130x100.pla | 130 | 1  | 100 | 70          | 162,688 | ne         |
| Dc70file140x100.pla | 140 | 1  | 100 | 70          | 146,015 | ne         |
| Dc70file150x100.pla | 150 | 1  | 100 | 70          | 277,625 | ne         |
| Dc70file160x100.pla | 160 | 1  | 100 | 70          | 217,547 | ne         |
| Dc70file170x100.pla | 170 | 1  | 100 | 70          | 236,188 | ne         |
| Dc70file180x100.pla | 180 | 1  | 100 | 70          | 197,359 | ne         |
| Dc70file190x100.pla | 190 | 1  | 100 | 70          | 232,094 | ne         |
| Dc70file200x100.pla | 200 | 1  | 100 | 70          | 144,203 | ne         |

Tabulka 1 – Naměřené hodnoty pro moji implementaci

| File                | .i  | .o | .p  | % dc vstupů | Čas   | tautologie |
|---------------------|-----|----|-----|-------------|-------|------------|
| Dc0File10x100.pla   | 10  | 1  | 100 | 0           | 0     | ne         |
| Dc0File20x100.pla   | 20  | 1  | 100 | 0           | 0     | ne         |
| Dc0File30x100.pla   | 30  | 1  | 100 | 0           | 0     | ne         |
| Dc0File40x100.pla   | 40  | 1  | 100 | 0           | 0,016 | ne         |
| Dc0File50x100.pla   | 50  | 1  | 100 | 0           | 0,016 | ne         |
| Dc0File60x100.pla   | 60  | 1  | 100 | 0           | 0,031 | ne         |
| Dc0File70x100.pla   | 70  | 1  | 100 | 0           | 0,046 | ne         |
| Dc0File80x100.pla   | 80  | 1  | 100 | 0           | 0,062 | ne         |
| Dc0File90x100.pla   | 90  | 1  | 100 | 0           | 0,078 | ne         |
| Dc0File100x100.pla  | 100 | 1  | 100 | 0           | 0,094 | ne         |
| Dc0File110x100.pla  | 110 | 1  | 100 | 0           | 0,110 | ne         |
| Dc0File120x100.pla  | 120 | 1  | 100 | 0           | 0,125 | ne         |
| Dc0File130x100.pla  | 130 | 1  | 100 | 0           | 0,125 | ne         |
| Dc0File140x100.pla  | 140 | 1  | 100 | 0           | 0,156 | ne         |
| Dc0File150x100.pla  | 150 | 1  | 100 | 0           | 0,157 | ne         |
| Dc0File160x100.pla  | 160 | 1  | 100 | 0           | 0,172 | ne         |
| Dc0File170x100.pla  | 170 | 1  | 100 | 0           | 0,172 | ne         |
| Dc0File180x100.pla  | 180 | 1  | 100 | 0           | 0,203 | ne         |
| Dc0File190x100.pla  | 190 | 1  | 100 | 0           | 0,219 | ne         |
| Dc0File200x100.pla  | 200 | 1  | 100 | 0           | 0,219 | ne         |
| Dc30file10x100.pla  | 10  | 1  | 100 | 30          | 0,016 | ne         |
| Dc30file20x100.pla  | 20  | 1  | 100 | 30          | 0,016 | ne         |
| Dc30file30x100.pla  | 30  | 1  | 100 | 30          | 0,014 | ne         |
| Dc30file40x100.pla  | 40  | 1  | 100 | 30          | 0,281 | ne         |
| Dc30file50x100.pla  | 50  | 1  | 100 | 30          | 0,235 | ne         |
| Dc30file60x100.pla  | 60  | 1  | 100 | 30          | 0,360 | ne         |
| Dc30file70x100.pla  | 70  | 1  | 100 | 30          | 0,453 | ne         |
| Dc30file80x100.pla  | 80  | 1  | 100 | 30          | 0,688 | ne         |
| Dc30file90x100.pla  | 90  | 1  | 100 | 30          | 0,875 | ne         |
| Dc30file100x100.pla | 100 | 1  | 100 | 30          | 0,703 | ne         |
| Dc30file110x100.pla | 110 | 1  | 100 | 30          | 1,078 | ne         |
| Dc30file120x100.pla | 120 | 1  | 100 | 30          | 0,859 | ne         |
| Dc30file130x100.pla | 130 | 1  | 100 | 30          | 1,047 | ne         |
| Dc30file140x100.pla | 140 | 1  | 100 | 30          | 0,922 | ne         |
| Dc30file150x100.pla | 150 | 1  | 100 | 30          | 1,422 | ne         |
| Dc30file160x100.pla | 160 | 1  | 100 | 30          | 1,515 | ne         |
| Dc30file170x100.pla | 170 | 1  | 100 | 30          | 1,375 | ne         |
| Dc30file180x100.pla | 180 | 1  | 100 | 30          | 1,516 | ne         |
| Dc30file190x100.pla | 190 | 1  | 100 | 30          | 1,453 | ne         |
| Dc30file200x100.pla | 200 | 1  | 100 | 30          | 1,750 | ne         |

| File                | .i  | .o | .p  | % dc vstupů | Čas     | tautologie |
|---------------------|-----|----|-----|-------------|---------|------------|
| Dc50file10x100.pla  | 10  | 1  | 100 | 50          | 0,152   | ne         |
| Dc50file20x100.pla  | 20  | 1  | 100 | 50          | 0,203   | ne         |
| Dc50file30x100.pla  | 30  | 1  | 100 | 50          | 0,969   | ne         |
| Dc50file40x100.pla  | 40  | 1  | 100 | 50          | 1,703   | ne         |
| Dc50file50x100.pla  | 50  | 1  | 100 | 50          | 5,235   | ne         |
| Dc50file60x100.pla  | 60  | 1  | 100 | 50          | 6,375   | ne         |
| Dc50file70x100.pla  | 70  | 1  | 100 | 50          | 8,359   | ne         |
| Dc50file80x100.pla  | 80  | 1  | 100 | 50          | 10,187  | ne         |
| Dc50file90x100.pla  | 90  | 1  | 100 | 50          | 12,859  | ne         |
| Dc50file100x100.pla | 100 | 1  | 100 | 50          | 12,265  | ne         |
| Dc50file110x100.pla | 110 | 1  | 100 | 50          | 17,047  | ne         |
| Dc50file120x100.pla | 120 | 1  | 100 | 50          | 13,938  | ne         |
| Dc50file130x100.pla | 130 | 1  | 100 | 50          | 21,469  | ne         |
| Dc50file140x100.pla | 140 | 1  | 100 | 50          | 20,766  | ne         |
| Dc50file150x100.pla | 150 | 1  | 100 | 50          | 1911,67 | ne         |
| Dc50file160x100.pla | 160 | 1  | 100 | 50          | 22,469  | ne         |
| Dc50file170x100.pla | 170 | 1  | 100 | 50          | 149,672 | ne         |
| Dc50file180x100.pla | 180 | 1  | 100 | 50          | 404,204 | ne         |
| Dc50file190x100.pla | 190 | 1  | 100 | 50          | 263,953 | ne         |
| Dc50file200x100.pla | 200 | 1  | 100 | 50          | 337,672 | ne         |

Tabulka 2 – Naměřené hodnoty pro implementaci Radka Chromého

| File               | .i  | .o | .p  | % dc vstupů | Čas   | tautologie |
|--------------------|-----|----|-----|-------------|-------|------------|
| Dc0File10x100.pla  | 10  | 1  | 100 | 0           | 0,047 | ne         |
| Dc0File20x100.pla  | 20  | 1  | 100 | 0           | 0,047 | ne         |
| Dc0File30x100.pla  | 30  | 1  | 100 | 0           | 0,047 | ne         |
| Dc0File40x100.pla  | 40  | 1  | 100 | 0           | 0,031 | ne         |
| Dc0File50x100.pla  | 50  | 1  | 100 | 0           | 0,047 | ne         |
| Dc0File60x100.pla  | 60  | 1  | 100 | 0           | 0,063 | ne         |
| Dc0File70x100.pla  | 70  | 1  | 100 | 0           | 0,063 | ne         |
| Dc0File80x100.pla  | 80  | 1  | 100 | 0           | 0,062 | ne         |
| Dc0File90x100.pla  | 90  | 1  | 100 | 0           | 0,063 | ne         |
| Dc0File100x100.pla | 100 | 1  | 100 | 0           | 0,079 | ne         |
| Dc0File110x100.pla | 110 | 1  | 100 | 0           | 0,078 | ne         |
| Dc0File120x100.pla | 120 | 1  | 100 | 0           | 0,078 | ne         |
| Dc0File130x100.pla | 130 | 1  | 100 | 0           | 0,078 | ne         |
| Dc0File140x100.pla | 140 | 1  | 100 | 0           | 0,063 | ne         |
| Dc0File150x100.pla | 150 | 1  | 100 | 0           | 0,063 | ne         |
| Dc0File160x100.pla | 160 | 1  | 100 | 0           | 0,078 | ne         |
| Dc0File170x100.pla | 170 | 1  | 100 | 0           | 0,079 | ne         |
| Dc0File180x100.pla | 180 | 1  | 100 | 0           | 0,063 | ne         |
| Dc0File190x100.pla | 190 | 1  | 100 | 0           | 0,078 | ne         |
| Dc0File200x100.pla | 200 | 1  | 100 | 0           | 0,094 | ne         |

| File                | .i  | .o | .p  | % dc vstupů | Čas   | tautologie |
|---------------------|-----|----|-----|-------------|-------|------------|
| Dc30file10x100.pla  | 10  | 1  | 100 | 30          | 0,047 | ne         |
| Dc30file20x100.pla  | 20  | 1  | 100 | 30          | 0,032 | ne         |
| Dc30file30x100.pla  | 30  | 1  | 100 | 30          | 0,047 | ne         |
| Dc30file40x100.pla  | 40  | 1  | 100 | 30          | 0,047 | ne         |
| Dc30file50x100.pla  | 50  | 1  | 100 | 30          | 0,047 | ne         |
| Dc30file60x100.pla  | 60  | 1  | 100 | 30          | 0,047 | ne         |
| Dc30file70x100.pla  | 70  | 1  | 100 | 30          | 0,047 | ne         |
| Dc30file80x100.pla  | 80  | 1  | 100 | 30          | 0,047 | ne         |
| Dc30file90x100.pla  | 90  | 1  | 100 | 30          | 0,047 | ne         |
| Dc30file100x100.pla | 100 | 1  | 100 | 30          | 0,063 | ne         |
| Dc30file110x100.pla | 110 | 1  | 100 | 30          | 0,032 | ne         |
| Dc30file120x100.pla | 120 | 1  | 100 | 30          | 0,047 | ne         |
| Dc30file130x100.pla | 130 | 1  | 100 | 30          | 0,031 | ne         |
| Dc30file140x100.pla | 140 | 1  | 100 | 30          | 0,062 | ne         |
| Dc30file150x100.pla | 150 | 1  | 100 | 30          | 0,062 | ne         |
| Dc30file160x100.pla | 160 | 1  | 100 | 30          | 0,062 | ne         |
| Dc30file170x100.pla | 170 | 1  | 100 | 30          | 0,046 | ne         |
| Dc30file180x100.pla | 180 | 1  | 100 | 30          | 0,062 | ne         |
| Dc30file190x100.pla | 190 | 1  | 100 | 30          | 0,062 | ne         |
| Dc30file200x100.pla | 200 | 1  | 100 | 30          | 0,078 | ne         |
| Dc50file10x100.pla  | 10  | 1  | 100 | 50          | 0,063 | ne         |
| Dc50file20x100.pla  | 20  | 1  | 100 | 50          | 0,047 | ne         |
| Dc50file30x100.pla  | 30  | 1  | 100 | 50          | 0,078 | ne         |
| Dc50file40x100.pla  | 40  | 1  | 100 | 50          | 0,078 | ne         |
| Dc50file50x100.pla  | 50  | 1  | 100 | 50          | 0,079 | ne         |
| Dc50file60x100.pla  | 60  | 1  | 100 | 50          | 0,109 | ne         |
| Dc50file70x100.pla  | 70  | 1  | 100 | 50          | 0,110 | ne         |
| Dc50file80x100.pla  | 80  | 1  | 100 | 50          | 0,109 | ne         |
| Dc50file90x100.pla  | 90  | 1  | 100 | 50          | 0,094 | ne         |
| Dc50file100x100.pla | 100 | 1  | 100 | 50          | 0,078 | ne         |
| Dc50file110x100.pla | 110 | 1  | 100 | 50          | 0,125 | ne         |
| Dc50file120x100.pla | 120 | 1  | 100 | 50          | 0,125 | ne         |
| Dc50file130x100.pla | 130 | 1  | 100 | 50          | 0,094 | ne         |
| Dc50file140x100.pla | 140 | 1  | 100 | 50          | 0,078 | ne         |
| Dc50file150x100.pla | 150 | 1  | 100 | 50          | 0,109 | ne         |
| Dc50file160x100.pla | 160 | 1  | 100 | 50          | 0,110 | ne         |
| Dc50file170x100.pla | 170 | 1  | 100 | 50          | 0,141 | ne         |
| Dc50file180x100.pla | 180 | 1  | 100 | 50          | 0,125 | ne         |
| Dc50file190x100.pla | 190 | 1  | 100 | 50          | 0,125 | ne         |
| Dc50file200x100.pla | 200 | 1  | 100 | 50          | 0,094 | ne         |

| File             | .i  | .o | .p  | % de vstupů | Čas   | tautologie |
|------------------|-----|----|-----|-------------|-------|------------|
| zfile10x100.pla  | 10  | 1  | 100 | 70          | 0,000 | ano        |
| zfile20x100.pla  | 20  | 1  | 100 | 70          | 0,031 | ne         |
| zfile30x100.pla  | 30  | 1  | 100 | 70          | 2,172 | ne         |
| zfile40x100.pla  | 40  | 1  | 100 | 70          | 2,203 | ne         |
| zfile50x100.pla  | 50  | 1  | 100 | 70          | 2,437 | ne         |
| zfile60x100.pla  | 60  | 1  | 100 | 70          | 1,812 | ne         |
| zfile70x100.pla  | 70  | 1  | 100 | 70          | 1,704 | ne         |
| zfile80x100.pla  | 80  | 1  | 100 | 70          | 1,812 | ne         |
| zfile90x100.pla  | 90  | 1  | 100 | 70          | 2,609 | ne         |
| zfile100x100.pla | 100 | 1  | 100 | 70          | 3,062 | ne         |
| zfile110x100.pla | 110 | 1  | 100 | 70          | 2,516 | ne         |
| zfile120x100.pla | 120 | 1  | 100 | 70          | 1,906 | ne         |
| zfile130x100.pla | 130 | 1  | 100 | 70          | 2,016 | ne         |
| zfile140x100.pla | 140 | 1  | 100 | 70          | 1,797 | ne         |
| zfile150x100.pla | 150 | 1  | 100 | 70          | 2,907 | ne         |
| zfile160x100.pla | 160 | 1  | 100 | 70          | 2,234 | ne         |
| zfile170x100.pla | 170 | 1  | 100 | 70          | 2,844 | ne         |
| zfile180x100.pla | 180 | 1  | 100 | 70          | 2,312 | ne         |
| zfile190x100.pla | 190 | 1  | 100 | 70          | 2,672 | ne         |
| zfile200x100.pla | 200 | 1  | 100 | 70          | 1,359 | ne         |

Tabulka 3 – Naměřené hodnoty pro knihovnu CUDD

## ***C. Obsah CD***

V kořenovém adresáři přiloženého cd se nachází binární spustitelný soubor tautology.exe a podadresáře:

**src** - zde jsou uloženy zdrojové soubory

**texty** - složka obsahuje tuto práci v elektronické podobě

**testy** - obsahuje testovací soubory a naměřená data